

¡Qué difícil es la aleatoriedad! (extracciones y azar)*

F. Montes[†] & A. Corberán[†]. Universitat de València

1 Introducción

El azar forma parte de nuestra vida cotidiana y se nos manifiesta de forma espontánea a través de múltiples circunstancias y fenómenos; pero en otras muchas ocasiones somos nosotros quienes necesitamos convocarlo. La obtención de una secuencia aleatoria de números es, sin duda, la más corriente de estas necesidades.

Estas notas pretenden ocuparse de la dificultad de generar con éxito una secuencia aleatoria que merezca tal nombre y lo hacen mediante el análisis de una lotería muy popular, la Primitiva, y sus familiares cercanos, el Bono Loto y el Gordo, y un sorteo relacionado con un llamamiento al servicio militar en los EUA. El orden de presentación de los ejemplos no es casual, están ordenados de *mejor* a *peor* atendiendo al éxito en alcanzar el objetivo de aleatoriedad perseguido. En el primero de ellos, la lotería Primitiva y sus variantes, las combinaciones ganadoras cumplen con los requisitos de aleatoriedad exigibles a un juego social de azar tan popular (¿podría haber sido de otra manera?). En el segundo, el sorteo del servicio militar del año 70 en los EUA, las cosas son peores porque a pesar de las precauciones que se tomaron el resultado no pasó con éxito ninguno de los tests de aleatoriedad a que fue sometido. Un ejemplo más cercano, en el que un planteamiento erróneo inicial condujo a un mal resultado, fue el sorteo para determinar los excedentes de cupo del reemplazo del 98 en España del que ya nos ocupamos en [2].

2 La Primitiva

La Primitiva y el resto de loterías conocidas genéricamente como 6/49, consisten en la extracción al azar, sin reemplazamiento, de 6 números entre los 49 primeros números naturales. Estos 6 números, cuyo orden de extracción es irrelevante, constituyen lo que se denomina *combinación ganadora* y su acierto es el objetivo (*soñado*) de los apostantes, que efectúan sus apuestas mediante la elección de 6 números en el correspondiente boleto.

La dificultad de acertar la combinación ganadora, premio de *1^a categoría*, se palia otorgando premios de menor categoría basados en el acierto parcial de dicha combinación. El premio de *2^a categoría* se otorga cuando se aciertan 5 de los 6 números de la combinación ganadora más el llamado *complementario*, número que se ha extraído al azar de entre los 43 que no forman parte de dicha combinación. La *3^a categoría* de premios consiste en acertar 5 de los 6 números ganadores y en las *categorías 4^a y 5^a* han de acertarse, respectivamente, 4 y 3 de los 6 números

*Este texto recoge la conferencia impartida en el curso *Un cambio histórico: el lenguaje de las matemáticas en sus aplicaciones*, que tuvo lugar del 11 al 15 de septiembre de 2000 en la UIMP de Santander.

[†]Dirección: *Departament d'Estadística i Investigació Operativa. Universitat de València. E-46100 Burjassot. Spain.* e-mail: francisco.montes@uv.es, angel.corberan@uv.es.

de la combinación ganadora. Veamos hasta qué punto somos benevolentes calificando sólo de difícil la obtención de un premio de 1ª categoría.

2.1 El espacio muestral de los posibles resultados

El experimento consistente en extraer los 6 números en las condiciones antes descritas es un experimento aleatorio que da lugar a un espacio muestral finito e equiprobable, Ω , con $\binom{49}{6} = 13.983.816$ resultados. La obtención de la probabilidad de ocurrencia de cualquier suceso A se lleva a cabo aplicando la fórmula de Laplace,

$$P(A) = \frac{\text{casos favorables a la ocurrencia de } A}{\text{casos posibles}}.$$

La tabla recoge la probabilidad de acierto para cada categoría.

categoría	aciertos	favorables	probabilidad
primera	6	$\binom{6}{6} = 1$	$7,15 \times 10^{-8}$
segunda	5+C	$\binom{6}{5} \times \binom{1}{1} = 6$	$4,29 \times 10^{-7}$
tercera	5	$\binom{6}{5} \times \binom{42}{1} = 252$	$1,80 \times 10^{-5}$
cuarta	4	$\binom{6}{4} \times \binom{43}{2} = 13.545$	$9,69 \times 10^{-4}$
quinta	3	$\binom{6}{3} \times \binom{43}{3} = 246.820$	$1,76 \times 10^{-2}$
casos posibles		$\binom{49}{6} = 13.983.816$	

2.2 Aleatoriedad de las extracciones

Probabilidades tan pequeñas no impiden que estas loterías gocen de gran popularidad. Dos parecen ser las razones de esta gran aceptación: la primera, sin duda, los succulentos premios que reparte, especialmente en aquellas ocasiones en las que hay *bote*, acumulación a los premios de 1ª categoría de premios de la misma categoría que no fueron otorgados en sus correspondientes sorteos por no haber habido ningún acertante de la misma. Al fin y al cabo, como señalan algunas de las cuñas publicitarias del ONLAE (Organismo Nacional de Loterías y Apuestas del Estado), soñar cuesta apenas veinte duros (¿o son ya treinta con la inflación?). Pero siendo importante, esta razón no sería suficiente de no estar acompañada por una segunda: la confianza de los apostantes en que las extracciones se llevan a cabo verdaderamente al azar. ¿Está justificada esta confianza?

El estudio que presentamos a continuación responde a la pregunta anterior analizando las combinaciones ganadoras desde distintos puntos de vista. El estudio se basa en los 4.024 sorteos de las tres loterías celebrados desde el 17 de octubre de 1985, fecha en la que tuvo lugar el primer sorteo de la Primitiva, hasta el 9 de julio de 2000 (los sorteos celebrados con posterioridad no han de cambiar el significado de las conclusiones). La base de datos utilizada para ello proviene parcialmente de la información que el ONLAE pone a disposición pública en su web <http://onlae.terra.es>, pero en su mayor parte proviene de [9], de donde se han extraído también algunos resultados.

Los puntos de vista utilizados para analizar los resultados de los 4.024 sorteos se corresponden con diferentes variables aleatorias y familias de sucesos asociadas al espacio muestral. A saber,

Número extraído.- Se trata de una variable aleatoria cuyo valor coincide con el número extraído.

Figura.- Un criterio de clasificación de la combinación ganadora es el que atiende a la cantidad de números consecutivos que contiene. Cada figura¹ define un suceso aleatorio y el conjunto de todos ellos forman una partición del espacio muestral que estudiaremos.

Suma.- Es una variable aleatoria que para cada combinación ganadora toma el valor de la suma de los números que la constituyen.

Si el mecanismo de extracción funciona aleatoriamente, el comportamiento probabilístico teórico de las variables y sucesos anteriores será conocido y podremos compararlo con su comportamiento experimental observado a partir de la muestra de 4.024 sorteos. La medida de la discrepancia entre ambos nos informará acerca de la bondad del mecanismo. Antes de comenzar con los análisis específicos debemos señalar que las posibilidades de estudio y análisis que las loterías del tipo 6/49 ofrecen no se agotan, ni con mucho, en los tres elementos anteriores. La propia web del ONLAE y la base de datos que [9] mantiene son buen ejemplo de ello. Para el objetivo que nos hemos marcado, a medio camino entre el rigor y la diversión, estos tres aspectos son suficientes.

2.3 Números

La variable N que toma como valor el número obtenido en cada una de las seis extracciones que componen un sorteo, no se obtiene a partir del espacio muestral antes descrito. El espacio muestral ligado a cada extracción, Ω' , es mucho más sencillo. Bajo el supuesto de aleatoriedad, $\Omega' = \{1, 2, \dots, 49\}$ y es equiprobable. La variable N puede definirse sobre él como la identidad y su distribución es la uniforme sobre el conjunto de los 49 valores de su soporte, $N \in \{1, 2, \dots, 49\}$. Así pues,

$$P(N = k) = \frac{1}{49}, \quad k = 1, \dots, 49. \quad (1)$$

El lector estará seguramente de acuerdo con (1) si piensa en la primera de las extracciones de cada sorteo, pero quizás le surjan dudas al pensar en alguna de las 5 restantes. Intentaremos disipárselas. Para ello consideremos el espacio muestral resultante de llevar a cabo las extracciones teniendo en cuenta el orden en que se han producido. El número de posibles resultados² será $V_{49,6}$, las variaciones de 49 elementos tomados de 6 en 6. Para obtener la probabilidad de que N tome el valor k en la extracción i -ésima, $\{N_i = k\}$, consideramos el suceso $A = \{\text{conjuntos de 6 extracciones en las que el número } k \text{ ocupa la posición } i\}$. Evidentemente $P(N_i = k) = P(A)$. Los casos favorables a A se obtienen fácilmente excluyendo k de los 49 números, extrayendo 5 de los 48 restantes e insertando a continuación k en la posición deseada, lo que dará lugar a un total de $V_{48,5}$ casos. Por lo tanto, como decíamos antes, tenemos

$$P(N_i = k) = p = \frac{V_{48,5}}{V_{49,6}} = \frac{1}{49}.$$

Los 4.024 sorteos suponen 24.144 extracciones. Estamos ante una muestra aleatoria de tamaño $n = 24.144$ de la variable N . Si las extracciones han sido realizadas al azar, la frecuencia

¹El nombre de *figura*, tomado directamente de la ONLAE, quizás no sea el adecuado porque como puede observarse poco o nada tiene que ver con la disposición geométrica de los números en el boleto.

²Este espacio muestral es diferente del Ω manejado en 2.1 porque ahora tenemos en cuenta el orden de las extracciones

esperada de cada uno de los 49 números es

$$\text{frecuencia esperada de } k = np = \frac{24.144}{49} = 492,7 \quad k = 1, 2, \dots, 49.$$

La tabla nos muestra ambas frecuencias, observada y esperada, para cada número a lo largo de las 24.144 extracciones.

N	f_obs (o)	f_esp (e)	$\frac{(o-e)^2}{e}$	N	f_obs (o)	f_esp (e)	$\frac{(o-e)^2}{e}$
1	503	492,7	0,2139	25	491	492,7	0,0061
2	470	492,7	1,0490	26	520	492,7	1,5087
3	501	492,7	0,1386	27	508	492,7	0,4729
4	488	492,7	0,0455	28	471	492,7	0,9587
5	454	492,7	3,0450	29	481	492,7	0,2795
6	493	492,7	0,0001	30	512	492,7	0,7532
7	491	492,7	0,0061	31	516	492,7	1,0985
8	489	492,7	0,0283	32	500	492,7	0,1071
9	486	492,7	0,0920	33	517	492,7	1,1950
10	484	492,7	0,1548	34	512	492,7	0,7532
11	490	492,7	0,0152	35	494	492,7	0,0032
12	485	492,7	0,1214	36	501	492,7	0,1386
13	485	492,7	0,1214	37	468	492,7	1,2417
14	496	492,7	0,0216	38	512	492,7	0,7532
15	458	492,7	2,4486	39	541	492,7	4,7278
16	483	492,7	0,1923	40	465	492,7	1,5611
17	501	492,7	0,1386	41	506	492,7	0,3571
18	472	492,7	0,8725	42	500	492,7	0,1071
19	491	492,7	0,0061	43	480	492,7	0,3291
20	463	492,7	1,7944	44	497	492,7	0,0369
21	503	492,7	0,2139	45	533	492,7	3,2904
22	509	492,7	0,5369	46	469	492,7	1,1433
23	507	492,7	0,4130	47	529	492,7	2,6691
24	445	492,7	4,6244	48	489	492,7	0,0283
				49	485	492,7	0,1214

Estamos en presencia de un fenómeno que se comporta aleatoriamente y no cabe por tanto esperar que las frecuencias observadas de cada número y las esperadas coincidan. La cuestión es hasta qué punto las diferencias entre unas y otras son debidas al azar o son consecuencia de un mecanismo defectuoso no compatible con la hipótesis de extracciones al azar. Existe una familia de tests estadísticos, conocidos genéricamente como *test de la bondad del ajuste* [10], que permiten contrastar si los datos reales se ajustan a la distribución de probabilidad de N obtenida bajo dicha hipótesis. En el lenguaje habitual del contraste de hipótesis, pretendemos contrastar

H_0 : la variable N se distribuye uniformemente en $\{1, 2, \dots, 49\}$,

H_A : la variable N no se distribuye uniformemente en $\{1, 2, \dots, 49\}$,

o sus equivalentes,

H_0 : las extracciones se realizan al azar,

H_A : las extracciones no se realizan al azar.

El funcionamiento del test está basado en medir la discrepancia entre las distribuciones teórica y empírica. El que nosotros vamos a utilizar, el de la χ^2 , usa como medida de dicha discrepancia la diferencia, adecuadamente corregida, entre los valores observados de cada número, o_i , y los esperados, e_i . El correspondiente estadístico se obtiene a partir de la expresión,

$$\chi_e^2 = \sum_{i=1}^{49} \frac{(o_i - e_i)^2}{e_i}.$$

cuya distribución asintótica (cuando el tamaño de la muestra crece a infinito) es una χ^2 con $48=49-1$ grados de libertad. Valores altos del estadístico, mayores que cierto umbral, implican una elevada discrepancia de los datos observados con la hipótesis establecida en H_0 y, por tanto, nos llevan a rechazarla y a aceptar la hipótesis H_A .

Para los datos de las 24.144 extracciones se obtiene $\chi_e^2 = 39,9354$ y el umbral del 5% se establece en 65,1707. Como nuestro estadístico no supera este último valor concluimos que no hay discordancia manifiesta entre los datos observados y H_0 , lo que nos lleva a *aceptar* (no *rechazar* estaría mejor dicho) la hipótesis de que las extracciones han sido realizadas al azar.

2.4 Figuras

El concepto de *figura* hace referencia a la cantidad de números consecutivos que hay en la combinación ganadora. Existen figuras con 0, 2, 3, 4, 5 y 6 números consecutivos, o las posibles agrupaciones que con ellos puedan darse. La tabla siguiente contiene las distintas figuras que pueden presentarse, las diferentes *formas* con las que cada una de ellas se manifiesta y el número de combinaciones favorables a cada forma y figura, necesarias para obtener la correspondiente probabilidad. Si suponemos que la combinación extraída está ordenada de menor a mayor, las *formas* indican la posición que los números consecutivos ocupan en ella. Hemos añadido también una columna con ejemplos de cada figura y forma.

Figura	Formas	Ejemplo	Favorables	Totales
111111	111111	1:3:5:7:9:11	7.059.052	7.059.052
21111	21111	1:2:4:6:8:10	1.086.008	5.430.040
	12111	1:3:4:6:8:10	1.086.008	
	11211	1:3:5:6:8:10	1.086.008	
	11121	1:3:5:7:8:10	1.086.008	
	11112	1:3:5:7:9:10	1.086.008	
2211	2211	1:2:4:5:7:9	135.751	814.506
	2121	1:2:4:6:7:9	135.751	
	2112	1:2:4:6:8:9	135.751	
	1221	1:3:4:6:7:9	135.751	
	1212	1:3:4:6:8:9	135.751	
	1122	1:3:5:6:8:9	135.751	
222	222	1:2:4:5:7:8	13.244	13.244
3111	3111	1:2:3:5:7:9	135.751	543.004
	1311	1:3:4:5:7:9	135.751	
	1131	1:3:5:6:7:9	135.751	
	1113	1:3:5:7:8:9	135.751	

Figura	Formas	Ejemplo	Favorables	Totales
321	321	1:2:3:5:6:8	13.244	79.464
	312	1:2:3:5:7:8	13.244	
	231	1:2:4:5:6:8	13.244	
	213	1:2:4:6:7:8	13.244	
	132	1:3:4:5:7:8	13.244	
	123	1:3:4:6:7:8	13.244	
33	33	1:2:3:5:6:7	946	946
411	411	1:2:3:4:6:8	13.244	39.732
	141	1:3:4:5:6:8	13.244	
	114	1:3:5:6:7:8	13.244	
42	42	1:2:3:4:6:7	946	1.892
	24	1:2:4:5:6:7	946	
51	51	1:2:3:4:5:7	946	1.892
	15	1:3:4:5:6:7	946	
6	6	1:2:3:4:5:6	44	44

La obtención del número de combinaciones o casos favorables a cada uno de los sucesos que las formas representan es sencilla pero puede llegar a ser farragosa, particularmente para las figuras/formas con pocos o ningún número consecutivo³. Como ilustración obtendremos a continuación los casos favorables a la forma *321*.

Casos favorables a la forma 321.- Elegiremos en primer lugar el menor de los números que forman la terna consecutiva, que para esta forma será también el menor elemento de la combinación ordenada. Este número puede ser cualquiera de los 42 primeros, puesto que un número posterior impediría que una forma como la propuesta pudiera aparecer. Designémoslo por i . Los dos números que le siguen deben ser $i + 1$ e $i + 2$. Por tanto, el primero de los dos números consecutivos siguientes, j , podrá ser uno cualquiera de los comprendidos entre $i + 4$ i 46 ($i + 4 \leq j \leq 46$). El último número de la combinación, k , habrá de verificar $j + 3 \leq k \leq 49$, lo que supone $49 - (j + 3) + 1 = 47 - j$ posibilidades. Si sumamos ahora para todos los valores de i y j tendremos

$$\begin{aligned}
\sum_{i=1}^{42} \sum_{j=i+4}^{46} (47-j) &= \sum_{i=1}^{42} \left\{ 47(46 - (i+4) + 1) - \frac{1}{2}(46 + i + 4)(46 - (i+4) + 1) \right\} \\
&= \sum_{i=1}^{42} \left\{ 47 \times 43 - 47i - \frac{1}{2}(50 + i)(43 - i) \right\} \\
&= \sum_{i=1}^{42} 47 \times 43 - \sum_{i=1}^{42} 47i - \frac{1}{2} \sum_{i=1}^{42} (50 \times 43 - 7i - i^2) \\
&= 13.244
\end{aligned}$$

En las 4.024 combinaciones estudiadas, la distribución de las frecuencias de cada una de las figuras es la que mostramos en la tabla. La tabla contiene también las probabilidades para cada figura y las frecuencias esperadas que de ellas se derivan. Con toda esta información podremos

³La dificultad puede obviarse recurriendo a un PC, puesto que un sencillo programa en cualquiera de los lenguajes habituales contará rápidamente el número de combinaciones asociadas a cada forma y figura. Los autores deben confesar que han hecho uso de este recurso. ¿No habíamos quedado que la tecnología informática era también para esto?

obtener el valor del correspondiente estadístico χ_e^2 y efectuar el pertinente test de bondad del ajuste⁴.

figura	f_obs	prob	f_esp	$\frac{(o-e)^2}{e}$
111111	1994	0,504802	2031,32	0,6857
21111	1610	0,388309	1562,55	1,4406
2211	232	0,058246	234,38	0,0242
3111	138	0,038831	156,26	2,1328
321	33	0,005683	22,87	4,4906
411	15	0,002841	11,43	1,1126
resto	2	0,001288	5,18	1,9564
<i>222*</i>	<i>2</i>	<i>0,000947</i>	<i>3,81</i>	
<i>42*</i>	<i>0</i>	<i>0,000135</i>	<i>0,54</i>	
<i>51*</i>	<i>0</i>	<i>0,000135</i>	<i>0,54</i>	
<i>33*</i>	<i>0</i>	<i>0,000068</i>	<i>0,27</i>	
<i>6*</i>	<i>0</i>	<i>0,000003</i>	<i>0,01</i>	
totales	4.024		4.024	11,8429

Al valor $\chi_e^2 = 11,8429$ le corresponden en esta situación 6=7-1 grados de libertad y el valor umbral correspondiente al 5% se establece en 12,5916, que al no ser superado por nuestro valor nos conduce, como antes, a aceptar la hipótesis de que las extracciones han sido realizadas al azar.

2.5 Sumas

La suma de los números que componen la combinación ganadora es una variable aleatoria cuya distribución de probabilidad, bajo el supuesto de extracciones al azar, puede conocerse. Podemos comprobar si la distribución empírica que se deriva de los 4.024 sorteos concuerda con aquélla.

La variable suma, S , es una variable discreta cuyo soporte es el conjunto $\{21,22,\dots,279\}$ y puede definirse de dos formas equivalentes:

Def 1.- Si N_i denota el número obtenido en la extracción i -ésima,

$$S = \sum_{i=1}^6 N_i, \quad N_i \in \{1,2,\dots,49\}, \quad N_i \neq N_j, \quad i \neq j.$$

Def 2.- Si ordenamos de forma creciente los números extraídos y designamos por $N_{(i)}$ el que ocupa el i -ésimo lugar,

$$S = \sum_{i=1}^6 N_{(i)}, \quad 1 \leq N_{(1)} < N_{(2)} < \dots < N_{(6)} \leq 49.$$

La esperanza y la varianza de S pueden obtenerse fácilmente a partir de la primera de las definiciones. Recordemos que las N_i se distribuyen todas ellas uniformemente en $\{1,2,\dots,49\}$,

⁴Para evitar problemas con la convergencia del estadístico χ_e^2 , es conveniente que la frecuencia esperada no sea inferior a 5 en ninguna de las categorías. Por esta razón hemos agrupado en una sola categoría denominada *resto* las figuras con menor probabilidad, que aparecen en cursiva y señaladas con un * en la tabla.

si bien no son independientes. Como es sabido,

$$E(N_i) = \frac{1 + 49}{2} = 25, \quad \text{var}(N_i) = \frac{49^2 - 1}{12}, \quad \forall i = 1, \dots, 6$$

Tendremos pues para S ,

$$E(S) = \sum_{i=1}^6 E(N_i) = 6 \times 25 = 150,$$

y puesto que no hay independencia,

$$\text{var}(S) = \sum_{i=1}^6 \text{var}(N_i) + \sum_{1 \leq i \neq j \leq 6} \text{cov}(N_i, N_j) = 6 \times \text{var}(N_1) + 30 \times \text{cov}(N_1, N_2). \quad (2)$$

La covarianza entre N_1 y N_2 la obtendremos a partir de la expresión $\text{cov}(N_1, N_2) = E(N_1 N_2) - E(N_1)E(N_2)$, de la que nos falta conocer la esperanza del producto.

$$E(N_1 N_2) = \sum_{k \neq l} k \cdot l \cdot P(N_1 = k, N_2 = l) = \frac{1}{49 \times 48} \sum_{k=1}^{49} \sum_{\substack{l=1 \\ l \neq k}}^{49} k \cdot l = \frac{25 \times 1192}{48}.$$

La covarianza valdrá

$$\text{cov}(N_1, N_2) = \frac{25 \times 1192}{48} - 25^2 = -\frac{25}{6}.$$

Sustituyendo en (2),

$$\text{var}(S) = 6 \times 200 + 30 \times \frac{-25}{6} = 1.200 - \frac{30 \times 25}{6} = 1.075.$$

La función de probabilidad de S vale,

$$f(s) = P(S = s) = \begin{cases} \frac{\|A_s\|}{V_{49,6}}, & 21 \leq s \leq 279, \\ 0 & \text{fuera,} \end{cases}$$

donde $\|A_s\|$ denota el cardinal del conjunto A_s definido mediante

$$A_s = \{(n_1, n_2, \dots, n_6); \sum_{i=1}^6 n_i = s, 1 \leq n_i \leq 49, n_i \neq n_j\}.$$

La obtención de los distintos valores de $f(s)$ es larga y tediosa, por lo que convendrá recordar cuanto se decía en una anterior nota a pie de página. El recurso a un PC nos permite obtener sin gran esfuerzo los valores de $\|A_s\|$ y $f(s)$. Corresponde ahora contrastar la distribución empírica obtenida a partir de los 4.024 sorteos con la teórica.

La tabla siguiente y la figura 1 resumen la información de ambas distribuciones. La tabla muestra los valores de $\|A_s\|$ y la figura permite comparar visualmente las gráficas de $f(s) = P(S = s)$ y de $f_{rel}(s)$, la frecuencia relativa observada para $S = s$. La impresión visual de concordancia que muestran ambas gráficas hemos de corroborarla con el test de bondad del ajuste. Esta concordancia se manifiesta también a través de la media y de la varianza de las sumas observadas:

$$\bar{x} = 151,00, \quad s^2 = 1072,26.$$

s	A _s	s	A _s	s	A _s	s	A _s	s	A _s	s	A _s
21	1	64	4935	107	74781	150	165772	193	74781	236	4935
22	1	65	5426	108	77624	151	165732	194	71928	237	4494
23	2	66	5940	109	80542	152	165490	195	69161	238	4070
24	3	67	6506	110	83440	153	165176	196	66388	239	3692
25	5	68	7097	111	86412	154	164654	197	63706	240	3331
26	7	69	7748	112	89348	155	164062	198	61031	241	3009
27	11	70	8423	113	92350	156	163273	199	58446	242	2702
28	14	71	9163	114	95311	157	162410	200	55875	243	2432
29	20	72	9933	115	98324	158	161354	201	53402	244	2172
30	26	73	10769	116	101285	159	160236	202	50944	245	1945
31	35	74	11637	117	104295	160	158923	203	48586	246	1729
32	44	75	12579	118	107235	161	157554	204	46253	247	1540
33	58	76	13552	119	110215	162	156004	205	44016	248	1360
34	71	77	14603	120	113119	163	154397	206	41809	249	1206
35	90	78	15690	121	116048	164	152617	207	39703	250	1057
36	110	79	16856	122	118889	165	150794	208	37625	251	931
37	136	80	18059	123	121751	166	148800	209	35648	252	811
38	163	81	19349	124	124507	167	146771	210	33706	253	709
39	199	82	20673	125	127274	168	144587	211	31860	254	612
40	235	83	22087	126	129930	169	142370	212	30051	255	532
41	282	84	23540	127	132581	170	140008	213	28340	256	454
42	331	85	25082	128	135109	171	137629	214	26663	257	391
43	391	86	26663	129	137629	172	135109	215	25082	258	331
44	454	87	28340	130	140008	173	132581	216	23540	259	282
45	532	88	30051	131	142370	174	129930	217	22087	260	235
46	612	89	31860	132	144587	175	127274	218	20673	261	199
47	709	90	33706	133	146771	176	124507	219	19349	262	163
48	811	91	35648	134	148800	177	121751	220	18059	263	136
49	931	92	37625	135	150794	178	118889	221	16856	264	110
50	1057	93	39703	136	152617	179	116048	222	15690	265	90
51	1206	94	41809	137	154397	180	113119	223	14603	266	71
52	1360	95	44016	138	156004	181	110215	224	13552	267	58
53	1540	96	46253	139	157554	182	107235	225	12579	268	44
54	1729	97	48586	140	158923	183	104295	226	11637	269	35
55	1945	98	50944	141	160236	184	101285	227	10769	270	26
56	2172	99	53402	142	161354	185	98324	228	9933	271	20
57	2432	100	55875	143	162410	186	95311	229	9163	272	14
58	2702	101	58446	144	163273	187	92350	230	8423	273	11
59	3009	102	61031	145	164062	188	89348	231	7748	274	7
60	3331	103	63706	146	164654	189	86412	232	7097	275	5
61	3692	104	66388	147	165176	190	83440	233	6506	276	3
62	4070	105	69161	148	165490	191	80542	234	5940	277	2
63	4494	106	71928	149	165732	192	77624	235	5426	278	1
										279	1

El gran número de valores que toma la variable S y la necesidad de efectuar agrupaciones para que los valores esperados de las categorías resultantes sean mayores o iguales que 5, como una correcta aplicación del test de la χ^2 exige, hacen aconsejable recurrir a otro test de la bondad del ajuste conocido como *test de Kolmogorov-Smirnov* (test K-S), que utiliza como medida de discrepancia la diferencia en valor absoluto entre las funciones de distribución teórica,

$$F(x) = \sum_{s \leq x} f(s),$$

y empírica,

$$F_n(x) = \sum_{s \leq x} f_{rel}(s) = \frac{|\{s_i, s_i \leq x, i = 1, \dots, n\}|}{n},$$

donde n es el número de observaciones y s_i la i -ésima observación de la variable S (en nuestro caso n será el número de sorteos). El correspondiente estadístico se obtiene mediante la expresión

$$D_n = \sup_{x \in R} |F_n(x) - F(x)|,$$

cuya distribución permite establecer el umbral del 5% a partir del cual aceptaremos o rechazaremos nuestra hipótesis. Para n suficientemente grande, como es nuestro caso, dicho umbral vale $1,36/\sqrt{n}$. Para los datos de los 4.024 sorteos $D_n = 0,0159$, menor que el valor del umbral $0,0214 = 1,36/\sqrt{4.024}$. Aceptaremos también ahora que las extracciones se han efectuado al azar.

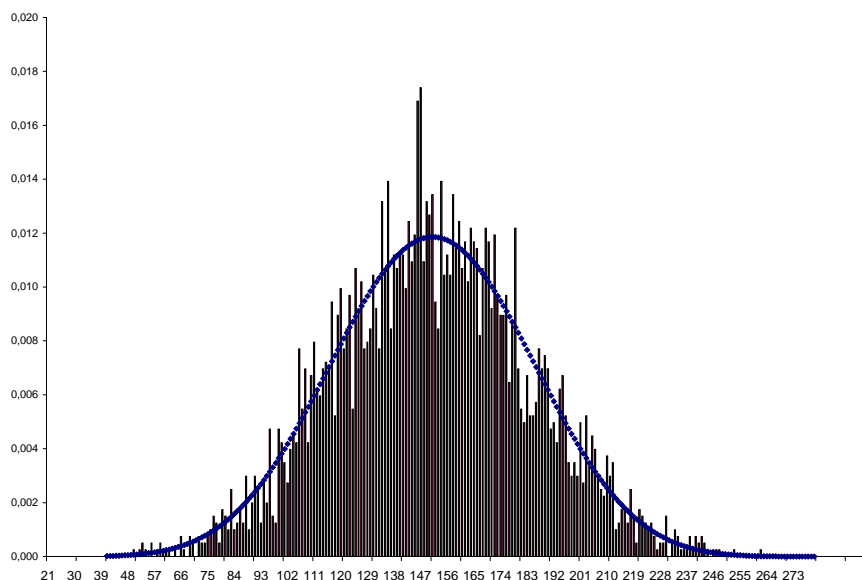


Figura 1.- Gráficas de $f(s)$ (línea de puntos) y de la $f_{rel}(s)$ (barras verticales).

2.6 ¿Cómo juegan los apostantes?

Es difícil concluir esta sección sin caer en la tentación de mirar el juego desde la perspectiva del comportamiento de los apostantes. Y esto aún a pesar del doble inconveniente que supone, de una parte, situarnos fuera del guión que nos hemos marcado y, de otra, la carencia de información directa sobre las apuestas. El empeño se justificaría porque lo que en un principio nos parecieron sólo llamativas anécdotas, son en realidad las manifestaciones de un comportamiento por parte de los apostantes alejado del puro azar. En efecto, se trata de corroborar algo ya sabido: que la gente traslada al boleto sus preferencias, manías, supersticiones y quimeras; actitudes que tienen como resultado una apuesta casi siempre alejada de lo que entendemos por una elección al azar de los seis números.

Una comprobación indirecta de este hecho, puesto que las apuestas son inaccesibles directamente, la proporciona el análisis conjunto de la combinación ganadora y del número de acertantes de cada categoría para los 4.024 sorteos. Conocemos la probabilidad de acierto para

cada categoría, p_i , y el número n_a de apuestas jugadas en cada sorteo, podemos pues conocer $e_i = p_i n_a$, número esperado de acertantes la categoría i bajo el supuesto de que las apuestas han sido hechas al azar. El contraste mediante el test de la χ^2 de la hipótesis de que las apuestas se han realizado al azar en cada uno de los 4.024 sorteos, se resume en la tabla.

Hipótesis de apuestas al azar	
aceptada	rechazada
66	3958
1,64%	98,36%

Dos comentarios alusivos a la obtención de la tabla:

- las dos primeras categorías de premios han sido agrupadas en una sola porque el número de apuestas no siempre daba lugar al mínimo esperado de 5 acertantes en la 1ª categoría,
- los 66 sorteos en los que la elección al azar de las apuestas es aceptada son una cota máxima que debe ser en realidad menor. En efecto, el contraste de la bondad del ajuste debe realizarse sobre todas las categorías de acertantes, lo que incluye a los que aciertan 2, 1 y 0 números de la combinación ganadora, pero sobre éstos no se tiene información alguna. Por esta razón, la apuesta al azar en cada sorteo la hemos rechazado cuando el valor de χ_e^2 obtenida a partir de las categorías cuyos acertantes conocemos superaba el umbral del 5% obtenido a partir de una χ_6^2 , puesto que el número de grados de libertad cuando se incluyen las categorías desconocidas es $6 = 7 - 1$.

Este análisis depara una última sorpresa. Los 66 sorteos en los que hemos aceptado la hipótesis de que las apuestas han sido elegidas al azar, se distribuyen entre los tres tipos de loterías de forma aparentemente distinta a como lo hace el total de sorteos (4.024). La tabla recoge ambas distribuciones y el test de la bondad del ajuste, que en este contexto se denomina *test de homogeneidad*, corrobora la diferencia con un valor $\chi_e^2 = 20,5996$ frente a un umbral $\chi_2^2 = 5,9915$. Todo parece indicar que la presencia de 58 Bonolotos excede, por encima de lo que la aleatoriedad explicaría, los 42 esperados, y ello en detrimento de la presencia de Primitivas. ¿Son más amantes del azar los jugadores de Bonoloto que los de la Primitiva? Vaya Ud. a saber.

	Bonoloto	Gordo	Primitiva
4.024 sorteos	2.576	192	1.256
66 al azar	58	5	3
<i>esperados</i>	<i>42,25</i>	<i>3,15</i>	<i>20,60</i>

2.6.1 ¿Y los de 6 aciertos?

El conocimiento completo de la apuesta de los acertantes de 1ª categoría (6 aciertos) permite hacer una incursión más detallada en dichas apuestas. Como comprobará más adelante el lector el esfuerzo merece la pena. Comencemos con una estadística de su número a lo largo de los 4.024 sorteos.

En la tabla, a_i es el número de apuestas con 6 aciertos y n_i la frecuencia (número de sorteos) con la que ha aparecido a_i .

a_i	n_i	%	$a_i \times n_i$	a_i	n_i	%	$a_i \times n_i$
0	2379	59,12	0	11	1	0,02	11
1	974	24,20	974	12	4	0,10	48
2	374	9,29	748	15	2	0,05	30
3	146	3,63	438	17	1	0,02	17
4	63	1,57	252	18	1	0,02	18
5	31	0,77	155	19	1	0,02	19
6	18	0,45	108	20	1	0,02	20
7	8	0,20	56	23	1	0,02	23
8	7	0,17	56	24	1	0,02	24
9	4	0,10	36	56	1	0,02	56
10	5	0,12	50	114	1	0,02	114
				totales	4024	100	3253

Un par de comentarios a la tabla:

- De los 4.024 sorteos aproximadamente el 60% no ha tenido acertantes de 6 y han generado por tanto un *bote* que se ha acumulado a los premios de 1^a categoría de otros sorteos.
- ¿Cómo explicar los 114 acertantes de la combinación ganadora en un mismo sorteo? Quizás atendiendo a la popularidad de ciertos números o a la atracción que ejercen entre la gente. O quizás la explicación sea mucho más sencilla y esté en la estructura del boleto. O quizás una mezcla de ambas razones. Para que el lector decida, ésta fue la combinación ganadora de aquel sorteo,

5 15 25 26 36 46

y éste el boleto con la combinación marcada sobre él:

	10	20	30	40
1	11	21	31	41
2	12	22	32	42
3	13	23	33	43
4	14	24	34	44
5	15	25	35	45
6	16	26	36	46
7	17	27	37	47
8	18	28	38	48
9	19	29	39	49

Figura 2.- Combinación ganadora del día 28.10.88 que tuvo 114 acertantes.

Los acertantes de 6 aciertos parecen tener todavía más agudizada la *azarofobia* del apostante. La figura 3 apoya esta opinión. En ella hemos representado la frecuencia esperada para cada uno de los 49 números en las $19.518 = 3.253 \times 6$ elecciones de números llevadas a cabo en las 3.253 apuestas que aquellos jugaron (ver tabla anterior). Como este valor esperado es el mismo para todos ellos, 398,33, aparece como una línea continua paralela al eje de abscisas. Las frecuencias observadas para cada número se han representado mediante puntos, que hemos unido a la recta anterior para que se aprecien mejor las diferencias entre lo esperado y lo observado. El valor del estadístico $\chi_e^2 = 623,25$ supera con creces el umbral del 5% de la $\chi_{48}^2 = 65,17$.

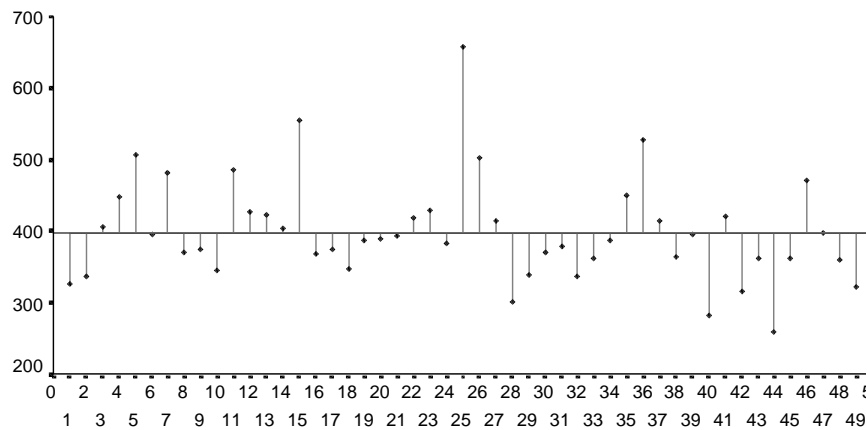


Figura 3.- Frecuencias de los 49 números en las apuestas con 6 aciertos.

Finalicemos con el que podemos denominar *boleto-robot* de 6 aciertos. Podemos obtenerlo eligiendo un código de colores y aplicándolo al boleto, de manera que la casilla de cada número se tiña con un color adecuado. Un criterio para elegir el color puede ser asociar los valores *más frecuentes* con los colores *más oscuros*, adaptando el rango a una escala de grises. Obtendríamos un resultado como el que se muestra en la figura 4.

	10	20	30	40
1	11	21	31	41
2	12	22	32	42
3	13	23	33	43
4	14	24	34	44
5	15	25	35	45
6	16	26	36	46
7	17	27	37	47
8	18	28	38	48
9	19	29	39	49

Figura 4.- Boleto robot de los 6 aciertos.

2.7 Dos conclusiones y un comentario

Conclusión acerca de las extracciones

El buen funcionamiento del mecanismo de extracción de los números en todos los sorteos de las loterías 6/49 ha de aceptarse en base a las características aleatorias analizadas. No arriesgaríamos gran cosa si afirmáramos que con el estudio de otras características el resultado hubiera sido el mismo. No esperábamos otra cosa y habría que señalar dos razones para ello. La primera, y más importante, es la sencillez del mecanismo utilizado, un bombo y 49 bolas homogéneas numeradas, que nos recuerda el comienzo de cualquier enunciado clásico de un problema de probabilidad: *De una urna que contiene bolas numeradas del* La segunda razón, de índole ético, se basaría en la creencia de que un organismo estatal de loterías está obligado a hacer las cosas bien aunque sólo sea

por el dinero que hay en juego, no tanto el de los premios como el que ingresa la hacienda pública.

Conclusión acerca de las apuestas

Nada que añadir al comentario que hacíamos al comienzo del párrafo 2.6. Los distintos análisis y anécdotas allí descritos confirman la ausencia de azar en las apuestas de los jugadores. Pero, ¿qué ocurrirá a medida que transcurra el tiempo y pueda generalizarse el uso por parte de los jugadores de las máquinas automáticas de apuestas? Quizás entonces sea el generador pseudoaleatorio de apuestas el que merezca una revisión crítica.

Y un comentario bibliográfico

Para cerrar esta sección dedicada a la Primitiva hemos de insistir en que la miscelánea anterior no agota, ni lo pretende, las posibilidades que este juego ofrece. Los juegos de azar son fuente inagotable de inspiración para aquellos que tienen el azar como profesión o pasión, una *o* no necesariamente exclusiva, y han dado lugar por ello a abundante literatura. En la científica, la que aquí nos atañe, son muchos los textos con títulos inequívocamente alusivos al tema, especialmente abundantes entre los precursores de la Teoría de la Probabilidad, lo que da fe de un origen ligado a los juegos de azar. Entre ellos: Huygens [8], Montmort [11], De Moivre [4], ... Pero también existen textos muy recientes que se ocupan del tema con amenidad y rigor, es el caso de los libros de Rao [12] y Haigh [7]. Cerrar esta incursión bibliográfica sin citar a dos autores clásicos como Feller [5] y Rényi [13] nos parecería una desconsideración hacia el lector por no haberle hecho partícipe de nuestra pasión por estos dos textos, referencias obligadas cuando se habla de probabilidad discreta (Feller) o de teoría de la probabilidad (Rényi).

3 El sorteo del servicio militar del año 70 en los EUA

A finales del año 69 un decreto del Presidente de los EUA, en aquella época Richard Nixon, establecía que los llamamientos para el servicio militar del año 70 debían llevarse a cabo mediante una selección aleatoria basada en la fecha de nacimiento de los implicados⁵. La promulgación del decreto tiene su pequeña historia por las dificultades y prejuicios que hubo de vencer. En ocasiones anteriores se habían utilizado sorteos para determinar la incorporación a filas, adquiriendo algunos de ellos, especialmente el del año 40, una merecida notoriedad debido a la falta de rigor con la que se llevaron a cabo, lo que supuso que las condiciones de equiprobabilidad e independencia necesarias no se satisficieran.

Se tomaron toda clase de precauciones para que el sorteo del 70 garantizara la igualdad de oportunidades. En un ameno artículo publicado al año siguiente en *Science*, Fienberg [6] describe con detalle, desde la forma y tamaño de las cápsulas que contenían las 366 fechas de nacimiento (el 29 de febrero estaba también contemplado), hasta la manera en la que las cápsulas eran introducidas en una caja de madera, donde se mezclaban previamente antes de ser alojadas definitivamente en el recipiente del que serían extraídas. El proceso de mezcla merece un comentario más extenso, por ser probablemente el origen de lo insatisfactorio del resultado. Se comenzó alojando las 31 fechas correspondientes a enero en el fondo de la caja, a continuación se hizo otro tanto con las 29 de febrero y se procedió a mezclar ambas. El proceso se repitió con cada uno de los restantes meses, mezclando las bolas después de cada introducción. Este proceso supone que mientras las bolas de enero fueron mezcladas en 11 ocasiones, las de noviembre y diciembre sólo lo fueron dos y una vez, respectivamente. Digamos

⁵De este sorteo ya nos ocupamos en [2], pero analizaremos aquí un nuevo aspecto que consideramos interesante y que proporciona una perspectiva diferente.

por último que una vez las cápsulas fueron arrojadas en el recipiente de la extracción, una gran copa de cristal, ya no fueron agitadas.

día	ene.	feb.	mar.	abr.	may.	jun.	jul.	agos.	sept.	oct.	nov.	dic.
1	305	86	108	32	330	249	93	111	225	359	19	129
2	159	144	29	271	298	228	350	45	161	125	34	328
3	251	297	267	83	40	301	115	261	49	244	348	157
4	215	210	275	81	276	20	279	145	232	202	266	165
5	101	214	293	269	364	28	188	54	82	24	310	56
6	224	347	139	253	155	110	327	114	6	87	76	10
7	306	91	122	147	35	85	50	168	8	234	51	12
8	199	181	213	312	321	366	13	48	184	283	97	105
9	194	338	317	219	197	335	277	106	263	342	80	43
10	325	216	323	218	65	206	284	21	71	220	282	41
11	329	150	136	14	37	134	248	324	158	237	46	39
12	221	68	300	346	133	272	15	142	242	72	66	314
13	318	152	259	124	295	69	42	307	175	138	126	163
14	238	4	354	231	178	356	331	198	1	294	127	26
15	17	89	169	273	130	180	322	102	113	171	131	320
16	121	212	166	148	55	274	120	44	207	254	107	96
17	235	189	33	260	112	73	98	154	255	288	143	304
18	140	292	332	90	278	341	190	141	246	5	146	128
19	58	25	200	336	75	104	227	311	177	241	203	240
20	280	302	239	345	183	360	187	344	63	192	185	135
21	186	363	334	62	250	60	27	291	204	243	156	70
22	337	290	265	316	326	247	153	339	160	117	9	53
23	118	57	256	252	319	109	172	116	119	201	182	162
24	59	236	258	2	31	358	23	36	195	196	230	95
25	52	179	343	351	361	137	67	286	149	176	132	84
26	92	365	170	340	357	22	303	245	18	7	309	173
27	355	205	268	74	296	64	289	352	233	264	47	78
28	77	299	223	262	308	222	88	167	257	94	281	123
29	349	285	362	191	226	353	270	61	151	229	99	16
30	164		217	208	103	209	287	333	315	38	174	3
31	211		30		313		193	11		79		100

El resultado del sorteo se muestra en la tabla anterior, apareciendo al lado de cada fecha el orden en que fue extraída, orden en el que serían llamados a filas los que nacieron ese día. Este detalle es relevante porque los llamamientos se harían en función de las necesidades, pudiendo suceder que después de determinado llamamiento no se efectuara ninguno más. De hecho, fuentes del Ministerio de Defensa y de la propia Casa Blanca reconocieron por aquellas fechas que, agrupando los 366 llamamientos en tres tercios de 122 fechas cada uno, las necesidades del servicio hacían prever que muy probablemente los del tercer tercio no serían llamados y tampoco parte del segundo.

En el artículo citado de Fienberg y en el de Corberán & Montes [2] se describen con detalle varios métodos para contrastar si el resultado del sorteo era compatible con la extracción al azar de las fechas de nacimiento. Recordaremos aquí uno de ellos y completaremos una sugerencia de Fienberg.

3.1 Estudio de las medias mensuales del orden de extracción

El análisis consiste en obtener los valores medios del orden de extracción o llamamiento que han correspondido a las fechas de nacimiento de cada mes y representar gráficamente las parejas

(*mes, valor medio*). Si las extracciones fueron hechas verdaderamente al azar, los puntos en dicha gráfica no deberían presentar ningún tipo de patrón, pero tal como se observa en la figura 5, la tendencia lineal decreciente es clara, especialmente para los meses de mayo a diciembre. La ecuación de la recta de regresión es

$$y = 229,37 - 7,05x,$$

y el coeficiente de correlación vale $r_{xy} = 0,8660$. Semejante valor del coeficiente de correlación nos lleva a aceptar la hipótesis de que las medias se sitúan a lo largo de una recta, lo que resulta incompatible con la supuesta aleatoriedad de las extracciones.

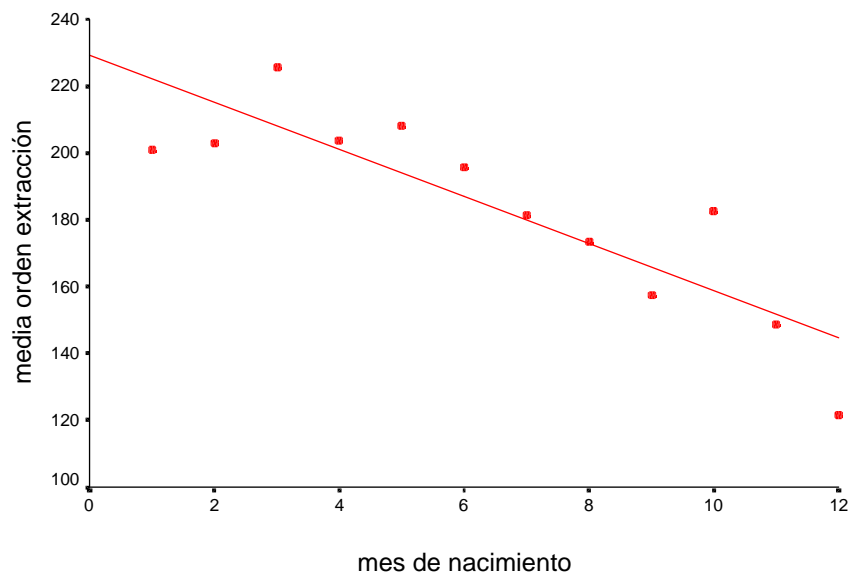


Figura 5.- Regresión de la media del número de extracción sobre el mes correspondiente

Los valores de las medias mensuales se muestran en la tabla siguiente y confirman las primitivas sospechas que el método empleado para mezclar las cápsulas hacía temer. Los primeros 5 valores son aproximadamente iguales, la razón puede estar en que la mezcla entre ellos fue más homogénea, pero a medida que aumentaban los meses las cápsulas iban siendo sometidas a menos mezclas. El bajo valor de la media del mes de diciembre refuerza este argumento.

mes	media orden extracción
enero	201,1
febrero	203,0
marzo	225,8
abril	203,7
mayo	208,0
junio	195,7
julio	181,5
agosto	173,5
septiembre	157,3
octubre	182,5
noviembre	148,7
diciembre	121,5

3.2 Un patrón espacial de puntos

Los resultados del sorteo admiten otro tipo de representación gráfica, la que hemos llevado a cabo en la figura 6. Se trata de un gráfico de dispersión en la que hemos representado el orden de extracción (eje Y) frente a la fecha de nacimiento (eje X).

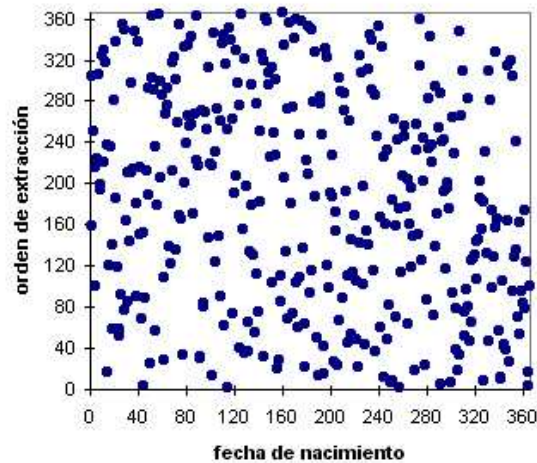


Figura 6.- Gráfica del orden de extracción respecto de la fecha de nacimiento

En su artículo, Fienberg analiza visualmente el gráfico y sugiere una cierta escasez de puntos en los extremos de la bisectriz del primer cuadrante. Observa también una tendencia a la agregación de puntos, que tiene como consecuencia la aparición de áreas en blanco relativamente extensas. Pero su análisis no va más allá de apreciaciones subjetivas que en ningún caso tienen el valor de un contraste de hipótesis.

Estamos en presencia de un patrón espacial de puntos sobre un retículo. Si las extracciones han sido realizadas al azar, el patrón debe ser *completamente aleatorio*. ¿Cómo contrastar la hipótesis de aleatoriedad completa? La obtención y exposición rigurosa de semejante test de hipótesis va más allá del objetivo de estas líneas. Hay que añadir, además, que el problema no es trivial debido a las dificultades que conlleva la obtención de la distribución de probabilidad de

los estadísticos asociados con la aleatoriedad espacial completa. Lo que en su lugar haremos es desarrollar un método intuitivo y práctico basado en uno de ellos, la distancia entre los puntos (sucesos) del patrón.

3.2.1 Distancia entre sucesos

Una característica numérica que resume bien los rasgos del patrón espacial de n sucesos observados en un recinto acotado, es la *distancia* entre dos cualesquiera de ellos. Más concretamente, la *función de distribución empírica (fded)* de las $\frac{1}{2}n(n-1)$ distancias que generan. Esta es, en realidad, una herramienta propia de los procesos puntuales espaciales definidos sobre R^2 , pero nada impide su utilización en el campo discreto. En uno u otro soporte, a un patrón espacial completamente aleatorio podemos oponerle alternativas en dos direcciones: un patrón *agregado*, en el que los sucesos se nos muestran formando clusters de mayor o menor tamaño, o un patrón *regular* o *de rechazo*, cuyos sucesos muestran una disposición más regular originada por el rechazo entre ellos. La figura 7 nos muestra patrones que representan las tres situaciones descritas. El de la *izquierda* corresponde a las localizaciones de 62 plántones de secuoyas en un cuadrado de 23 ms. de lado, y la agregación que nos muestra podría explicarse por el hecho de que cada grupo de plántones ha crecido alrededor de una secuoya madre que no aparece representada en la imagen. En la gráfica *central* los sucesos son las localizaciones de 63 brotes de pinos negros japoneses. El patrón regular que nos muestra la gráfica de la *derecha* responde a la localización de los centros de un grupo de células humanas. Las imágenes están tomadas de [3].

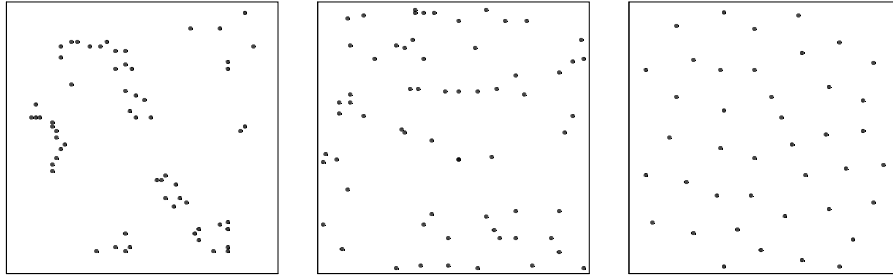


Figura 7.- Patrones espaciales de sucesos: agregado (izqda.), aleatorio (centro) y regular (dcha.).

Para ver la capacidad discriminadora de la *fded* observemos la figura 8. Se muestran en ella los histogramas y la *fded* de las distancias entre sucesos de los patrones simulados que aparecen bajo cada gráfica. En todos los casos las simulaciones se han efectuado en un recinto circular de radio 1 y el número de sucesos es similar: 48 para el patrón agregado y 50 para los otros dos.

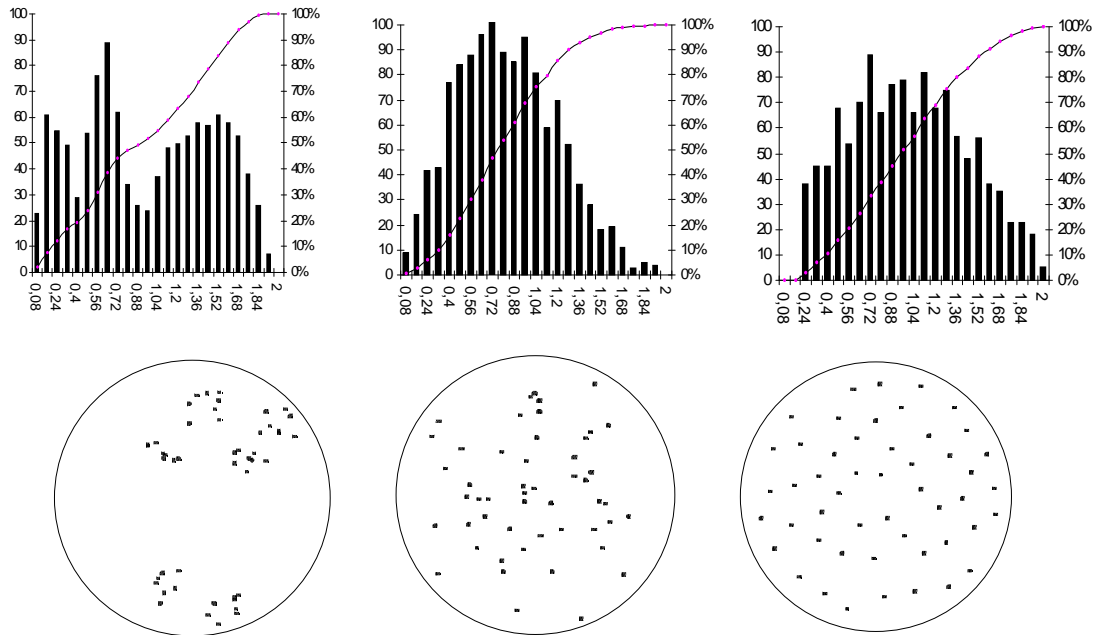


Figura 8.- Histogramas y $fded$ para patrones agregado (izqda.), aleatorio (centro) y regular (dcha.).

Puede observarse que:

- en el patrón *agregado*, hay una mayor proporción de distancias pequeñas y grandes y una frecuencia mucho menor de distancias intermedias, lo que da lugar a una $fded$ con pendiente pronunciada al inicio,
- en el patrón *regular* las distancias pequeñas son inexistentes o mucho menos frecuentes que en el caso agregado, mientras que las intermedias tienen mayor presencia con un cierto equilibrio entre ellas, y
- en el patrón *completamente aleatorio* la distribución, aunque un poco sesgada, recuerda la de una normal, con colas (valores extremos) ligeras y parecidas, y una gradación de valores intermedios con mayor presencia de los centrales.

La obtención de la $fded$ es muy sencilla a partir de su definición: en cada punto x , es la proporción de distancias que no superan a x ,

$$\hat{F}(x) = \frac{|\{d_{ij}, d_{ij} \leq x\}|}{\frac{1}{2}n(n-1)}.$$

Si conociésemos $F(x)$, la función de distribución teórica de las distancias, una primera aproximación al contraste de aleatoriedad podría consistir en representar la ordenada $\hat{F}(x)$ frente a la abscisa $F(x)$, lo que daría lugar, bajo la hipótesis de aleatoriedad completa, a algo muy parecido a la bisectriz del primer cuadrante. Se trata de un método empírico y subjetivo de comprobar dicha aleatoriedad. Excepto en aquellos casos extremos en que los puntos estén alineados a lo largo de la recta $y = x$ o muestren una gráfica claramente distinta de ella, la decisión es siempre difícil de tomar.

El recurso a métodos convencionales de Inferencia Estadística exige conocer la distribución de $\hat{F}(x)$ bajo la hipótesis de aleatoriedad completa. Desgraciadamente ello es imposible o, como mínimo, muy complicado. Cualquier alternativa pasa por utilizar métodos basados en la simulación de patrones completamente aleatorios de sucesos semejantes al nuestro y comparar las funciones de distribución empíricas, o alguna característica asociada, de unos y otro. Veamos dos de estos métodos y apliquémoslos a los datos del sorteo.

3.2.2 Método de las envolturas superior e inferior de la *fded*

Decir que el resultado del sorteo es compatible con la extracción al azar de las fechas de nacimiento, equivale a decir que el orden de extracción es una permutación aleatoria de los 366 primeros naturales. Lo que haremos será generar $n - 1$ de estas permutaciones y obtener para cada una de ellas su *fded*, $\hat{F}_i(x)$, $i = 2, \dots, n$ y compararlas con la $\hat{F}_1(x)$ derivada del sorteo.

Una forma sencilla de llevar a cabo la comparación es construir las *envolturas superior* y *inferior* de las simuladas mediante

$$S(x) = \max_{i=2, \dots, n} \hat{F}_i(x), \quad I(x) = \min_{i=2, \dots, n} \hat{F}_i(x).$$

Si los datos del sorteo son completamente aleatorios, $\hat{F}_1(x)$ no debería distinguirse de las $\hat{F}_i(x)$, $i = 2, \dots, n$ y se verificaría

$$P(\hat{F}_1(x) > S(x)) = P(\hat{F}_1(x) < I(x)) = \frac{1}{n}, \quad \forall x. \quad (3)$$

Si sistemáticamente $\hat{F}_1(x)$ está por encima de $S(x)$ o debajo de $I(x)$, tendremos entonces un claro indicio en contra de la hipótesis establecida.

Para analizar los datos del sorteo hemos generado 99 permutaciones aleatorias del 1 al 366, lo que significa que las probabilidades en (3) valen 0.01, y es por tanto muy improbable que $\hat{F}_1(x)$ supere a $S(x)$ o sea inferior a $I(x)$. La gráfica conjunta de las tres funciones no es muy informativa debido a que sus diferencias son muy pequeñas, pero si representamos conjuntamente las gráficas $(x, \hat{F}_1(x) - I(x))$ y $(x, \hat{F}_1(x) - S(x))$, como hemos hecho en la figura 9, veremos que mientras la primera es siempre positiva, como era de esperar, la segunda es positiva entre $x = 50$ y $x = 128$, en contra de lo esperado. Habría que concluir que existen claros indicios de que la extracción no fue al azar.

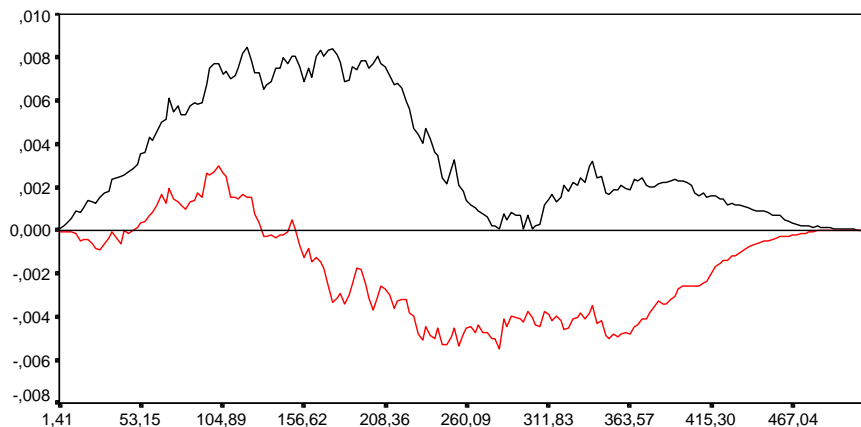


Figura 9.- Comparación de $S(x)$, $\hat{F}_1(x)$ y $I(x)$.

3.2.3 Test de Montecarlo para el intervalo intercuartílico

El otro método de contraste propuesto se basa en una característica numérica asociada a la *fded* de las distancias, y forma parte de una familia de métodos conocidos genéricamente como *Tests de Montecarlo*, introducidos por Barnard en 1963 [1]. En esencia, se trata de comparar la característica numérica estudiada en el patrón observado con los valores que esa misma característica toma en los $n - 1$ patrones completamente aleatorios que hemos simulado. Si la hipótesis de aleatoriedad completa es satisfecha, al ordenar conjuntamente el valor observado y los simulados, aquél podrá ocupar cualquier posición con la misma probabilidad, $1/n$. Al igual que en un contraste de hipótesis clásico, posiciones extremas, originadas por valores extremos⁶, son evidencias en contra de la hipótesis nula asumida.

El método permite establecer el nivel de significación a partir del cual rechazaremos la hipótesis nula. Así, si en un contraste bilateral rechazamos la hipótesis cuando el valor observado se encuentra entre los k mayores o los k menores, el nivel de significación del test es $\alpha = 2k/n$. Una elección adecuada de n nos permitirá fijar el α deseado.

Volvamos al resultado del sorteo. La característica numérica que vamos a observar es el llamado *intervalo intercuartílico*, *IIQ*, de la distribución de las distancias entre sucesos. Se trata de una medida de dispersión definida mediante

$$IIQ = p_{75} - p_{25},$$

donde p_{75} y p_{25} son, respectivamente, el *tercer* y el *primer cuartiles* que, recordemos, son los valores que dejan a su izquierda el 75% y el 25% , respectivamente, de las distancias observadas.

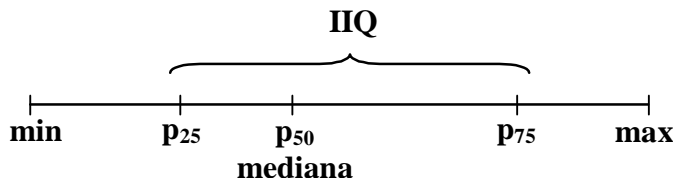


Figura 10.- El intervalo intercuartílico.

El intervalo intercuartílico de las $66.795 = \frac{1}{2} \times 366 \times 365$ distancias obtenidas a partir del resultado del sorteo vale $IIQ = 139,5$. Para las 99 simulaciones los valores de sus *IIQ* varían entre 138,4 y 136,4. Nuestro valor es el mayor de todos ellos. La conclusión es obvia: rechazaremos la hipótesis de aleatoriedad completa puesto que la probabilidad de encontrar un valor en cualquiera de los extremos es $2 \times 0,01$ (el contraste es bilateral porque la hipótesis alternativa es la ausencia de aleatoriedad completa, que puede manifestarse indistintamente con valores altos o bajos).

3.3 Conclusión

Todo parece indicar que las precauciones que se tomaron no fueron suficientes. El resultado del sorteo no parece compatible con las condiciones requeridas por las extracciones al azar, como se deduce de las pruebas anteriores y de otras complementarias que pueden consultarse en los artículos de Fienberg [6] y Corberán & Montes [2].

El resultado de los tests de aleatoriedad completa nos conducen al rechazo de ésta, pero nos informan también del sentido de la desviación respecto de aquélla. En efecto, los patrones

⁶Según que el contraste sea *unilateral* o *bilateral* tendremos en cuenta uno o los dos extremos

agregados tienen mayor dispersión que los regulares (una nueva ojeada a la figura 8 puede merecer la pena) y el elevado valor del IIQ observado estaría indicándonos la presencia de un patrón agregado. El resultado de la regresión va también en este sentido.

Agradecimientos

Los autores quieren manifestar su agradecimiento por la ayuda recibida en el apartado de la Primitiva a D. Pedro R. López Torres, informático vehemente, para quién este juego sólo guarda un secreto: acertar la combinación ganadora.

Referencias

- [1] G.A. Barnard. Contribution to the discussion of Professor Bartlett's paper. *J.R.Statist.Soc. B*, 25:294, 1963.
- [2] A. Corberán & F. Montes. Perversiones y trampas de la probabilidad. *La Gaceta de la RSME*, 3:198:229, 2000.
- [3] P.J. Diggle. *Statistics Analysis for Spatial Point Patterns*. Academic Press, London, 1983.
- [4] A De Moivre. *The Doctrine of Chances. 3rd. Edition*. A. Millar, London, 1756. (Reeditado por Chelsea Pub. Comp., New York, 1967)
- [5] W. Feller. *An Introduction to Probability Theory and Its Applications. Vol I. 3rd. Edition*. John Wiley, New York, 1968.
- [6] S.E. Fienberg, Randomization and Social Affairs: The 1970 Draft Lottery. *Science*, 171:255–261, 1971.
- [7] J. Haigh. *Taking Chances*. Oxford University Press, Oxford, 1999.
- [8] C. Huygens. *Tractatus de Rationiis in Aleae Ludo*. In *Exercitationes Mathematicae*. Ed. F. van Shooten, Amsterdam, 1657.
- [9] P.R. López Torres. Comunicación personal. Albacete, 2000.
- [10] R.J. Larsen and M.L. Marx. *An Introduction to Mathematical Statistics and Its Applications. 3rd. Edition*. Prentice Hall College Div., New Jersey, 2000.
- [11] P.R. Montmort. *Essai d'Analyse sur les Jeux d'Hazard*. Ed. Jacques Quillau, Paris, 1713. (Reeditado por Chelsea Pub. Comp., New York, 1980)
- [12] C.R. Rao. *Estadística y Verdad: Aprovechando el Azar*. PPU, Barcelona, 1994.
- [13] A. Rényi. *Probability Theory*. North-Holland, Amsterdam, 1970.